

پیش‌بینی تنش سیلان در منطقه تبلور مجدد جزئی

در یک فولاد DIN 1.7765

افشین باپری^۱، عباس نجفی‌زاده^۲ و محمد موذنی^۳

۱- کارشناسی ارشد، دانشگاه آزاد اسلامی واحد نجف‌آباد، دانشکده مکانیک

۲- استاد، دانشگاه صنعتی اصفهان، دانشکده مواد

۳- کارشناسی ارشد، دانشگاه آزاد اسلامی واحد نجف‌آباد

Afshin_bapari@yahoo.com

چکیده

در این پژوهش بهمنظور دست‌یابی به شکل کامل نمودارهای تنش کرنش فولاد DIN 1.7765 در منطقه تبلور مجدد جزئی، از اصل ثابت بودن نسبت تنش بحرانی شروع تبلور مجدد دینامیکی به تنش حالت پایا در تغییر شکل گرم استفاده شد. ابتدا این نسبت برای فولاد مورد تحقیق تعیین و سپس با استفاده از یک مدل ریاضی، نمودارهای سیلان پیش‌بینی شد. مقایسه نتایج محاسباتی پیش‌بینی شده و نتایج تجربی تنش سیلان بیانگر توافق بسیار مناسب بین آنها است. همچنین تابعیت تنش حالت پایا از شرایط تغییر شکل برای این فولاد مورد بررسی قرار گرفت و معادله ریاضی آن تعیین شد.

واژه‌های کلیدی:

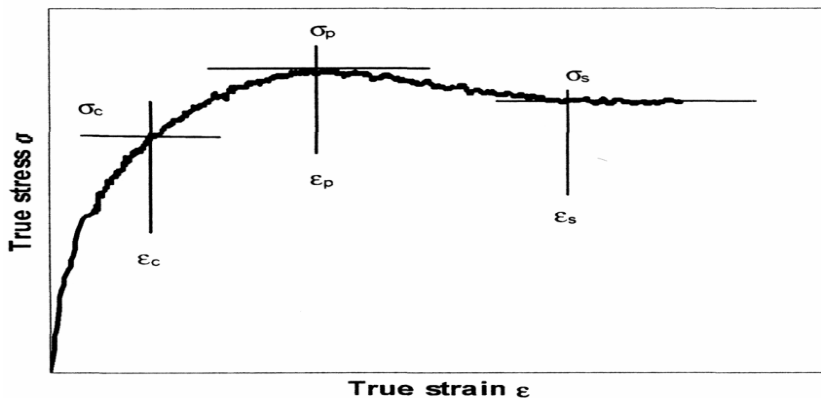
تغییر شکل گرم، معادلات مشخصه، فولاد DIN 1.7765، تبلور مجدد، انرژی اکتیواسیون

هرگونه تنش و نابجایی در درون فلز ایجاد می‌شود[۱].

۱- مقدمه

شکل (۱) بهصورت شماتیک منحنی تنش کرنش حقیقی فلزی را که در حین تغییر شکل گرم دچار تبلور مجدد دینامیکی شده نشان می‌دهد. با توجه به این شکل سه نقطه مهم در نمودار وجود دارد که عبارتند از نقطه بحرانی شروع تبلور دینامیکی (σ_c, ϵ_c)، نقطه اوج (σ_p, ϵ_p) و نقطه حالت پایا (σ_s, ϵ_s) که از طریق رسم منحنی‌های تغییرات نرخ کار سختی بر حسب کرنش و تنش بهطور دقیق قابل تعیین می‌باشد[۲].

در حین کار DAG همیشه بازیابی دینامیکی رخ می‌دهد اما در بعضی از مواد، نرم شدن به‌دلیل انرژی نقص در چیده شدن پایین با سرعت کمی انجام می‌شود. در این حالت فرآیندهایی مانند صعود و لغزش متقطع به‌سختی صورت می‌گیرد و به این دلیل کار سختی نمی‌تواند تنها با بازیابی دینامیکی حتی در دماهای بالا به تعادل برسد. در این مواد دانسته نابجایی‌ها با کرنش اعمال شده دائمًا افزایش می‌یابد و بعد از اینکه انرژی داخلی به حد معینی رسید، تبلور مجدد آغاز شده و دانه‌های جدید عاری از



شکل (۱): شماتیک منحنی تنش-کرنش حقیقی در شرایطی که رفتار تبلور مجدد دینامیکی رخ می‌دهد.

$$\sigma = \sigma_s + (\sigma_p - \sigma_s) \times \exp \left[C_1 \left(\varepsilon - \frac{\varepsilon_p}{2} - \frac{\varepsilon^2}{2\varepsilon_p} \right) \right] \quad (۲)$$

در این معادله می‌توان از شرایط مرزی در نقطه بحرانی شروع تبلور مجدد دینامیکی استفاده نمود.

$$\varepsilon = \varepsilon_c \Rightarrow \sigma = \sigma_c \quad (۳)$$

این روش توسط محققین برای پیشگویی تنش سیلان در یک فولاد IF ارایه شده و نتایج آن موققت آمیز بوده است [۵]. به منظور تعیین درجه دقت پیشگویی تنش سیلان در یک شرایط خاص از تغییر شکل، می‌توان از جذر متوسط مجموع مربع انحرافات (RMSSD) استفاده نمود. این رابطه به صورت زیر بیان

$$RMSSD = \sqrt{\frac{\sum_{i=1}^n (\sigma_{pred} - \sigma_{meas})^2}{n}} \quad (۴)$$

در این رابطه σ_{pred} تنش پیش‌بینی شده، σ_{meas} تنش اندازه‌گیری شده و n تعداد نقاط مورد استفاده می‌باشد. اگر مقدار RMSSD حداً کثر تا حدود ۵٪ تنش سیلان متوسط (σ_{mfs}) باشد در این صورت می‌توان گفت پیشگویی با دقت مناسبی انجام شده است. تنش سیلان متوسط نیز به صورت زیر

$$\sigma_{mfs} = \frac{1}{\varepsilon} \int_0^\varepsilon \sigma d\varepsilon \quad (۵)$$

نسبت‌های کرنش و تنش هر یک از این نقاط برای یک فلز در تغییر شکل گرم معمولاً مقداری ثابت است [۳].

محدودیت آزمایش فشار در اعمال کرنش سبب می‌شود که در بعضی از شرایط تغییر شکل، منطقه تبلور مجدد جزئی (فاصله کرنش بحرانی شروع تبلور مجدد تا کرنش پایا) از کرنش قابل اعمال در این تجاوز آزمایش کند. با توجه به شکل کلاسیک منحنی‌های تنش کرنش در حین رخداد فرآیند تبلور دینامیکی و براساس تئوری معادلات مشخصه (Constitutive Equations) در حین تغییر شکل گرم، می‌توان معادلاتی را ارایه نمود که توانایی پیشگویی تنش را در هر میزان کرنش داشته باشد [۴]. با توجه به اینکه در هنگام رخداد فرآیندهای بازیابی و تبلور مجدد دینامیکی به صورت همزمان، مشتق منحنی تنش کرنش حقیقی (نرخ کارسختی) قبل و بعد از نقطه اوج به ترتیب مثبت و منفی می‌شود، بنابراین می‌توان $\frac{d\sigma}{d\varepsilon} = C_1(\sigma - \sigma_s)(1 - \frac{\varepsilon}{\varepsilon_p})$, $\varepsilon \geq \varepsilon_c$ نوشت [۵]. در این رابطه σ تنش سیلان، ε میزان کرنش، ε_p کرنش نقطه اوج، σ_s تنش حالت پایا و C_1 نیز ثابت معادله می‌باشد. این رابطه بعد از کرنش بحرانی شروع تبلور مجدد دینامیکی، ε_c صادق است. با انتگرال‌گیری از (۱) و اعمال شرایط $\sigma_s = \sigma_p$, $\varepsilon = \varepsilon_p$ خواهیم داشت برای تعیین ثابت C_1

جدول (۱): ترکیب شیمیایی فولاد DIN 1.7765

Element	C	Cr	Mo	V	Si	Mn	P	S
Wt%	0.30- 0.35	2.80- 3.20	0.80- 1.20	0.25- 0.35	<0.35	<0.60	<0.025	<0.010

۳- نتایج و بحث

نمودارهای تنش - کرنش فولاد مورد تحقیق در شرایط تغییر شکل به کار برده شده، در شکل (۲-a) آورده شده است. همانطور که مشاهده می‌شود تنها در تعداد محدودی از شرایط تغییر شکل تنش به حالت پایا می‌رسد (تغییر فرم در دماهای ۱۲۰۰°C و ۱۱۰۰°C در سرعت کرنش s^{-1}) و دمای 1225°C در سرعت کرنش $0.2 s^{-1}$ و در بقیه موارد به علت محدودیت آزمایش فشار داغ، تنش قبل از رسیدن به حالت پایا حذف شده است (بنابر نتایج تحقیق قبلی بروی این فولاد، از دمای تغییر شکل 1000°C به بالا تبلور مجدد دینامیکی آغاز می‌شود[۷]) که این سه مورد در شکل (۲-b) آورده شده است. مقادیر σ_c و σ_s از این نمودارها تعیین شده و بر حسب پارامتر زنر هوولمن (Z) در شکل (۳-a) رسم گردیده است. با رسم مقادیر σ_s بر حسب σ_c در شکل (۳-b) و برآش خطی، نسبت σ_s/σ_c به صورت رابطه زیر تعریف می‌شود:[۹]:

$$Z = \varepsilon^\circ \cdot \exp\left(\frac{Q}{RT}\right) = A [Sinh(\alpha\sigma)]^n \quad (6)$$

که در این رابطه ε° سرعت کرنش، Q انرژی اکتیواسیون تغییر شکل داغ، R ثابت جهانی گازها، T درجه حرارت در مقیاس مطلق و σ مقدار تنش در یک کرنش ثابت و مقادیر A, α, n ثوابت فولاد می‌باشد.

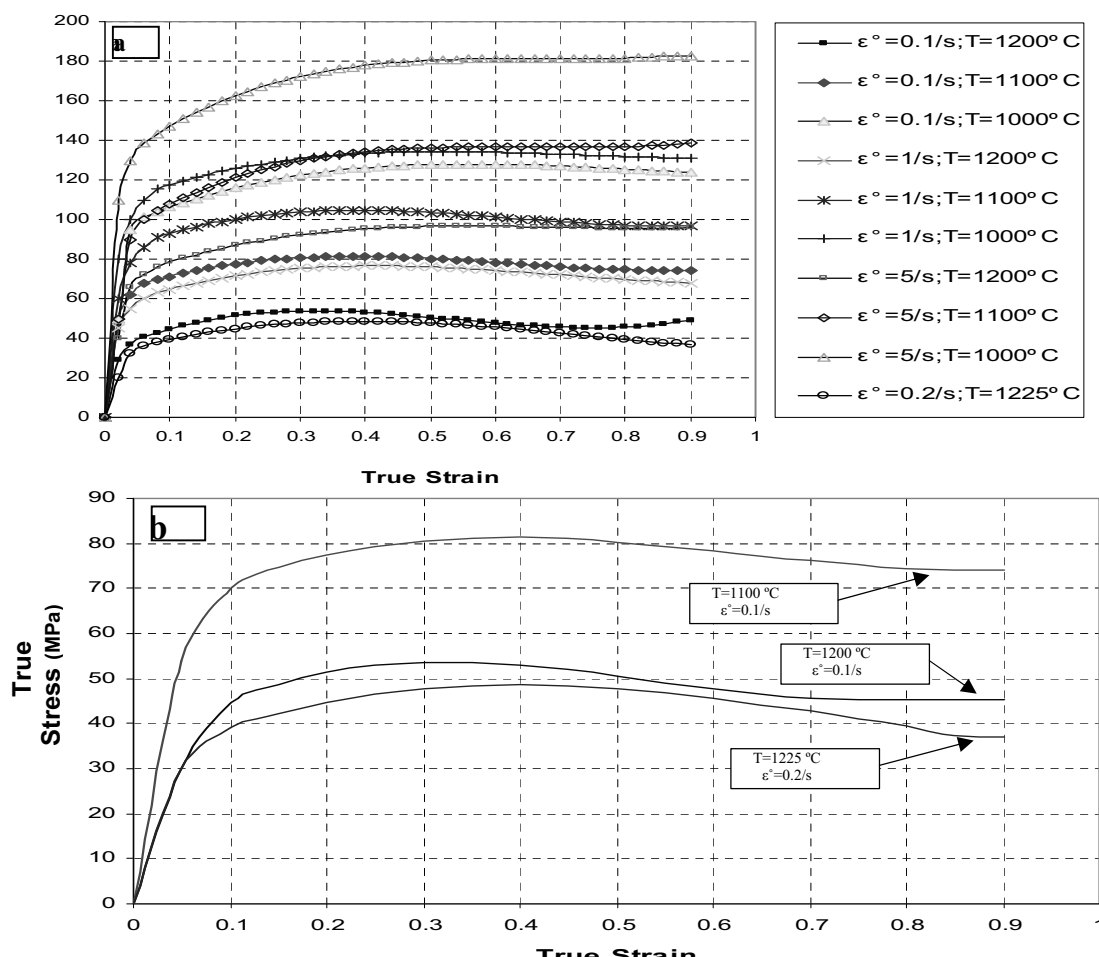
در تحقیق قبلی تابعیت تنش بحرانی شروع تبلور مجدد دینامیکی فولاد DIN 1.7765 با شرایط تغییر شکل به صورت زیر تعیین شد[۷].

۲- روش تحقیق

فولاد DIN 1.7765، یک فولاد فوق مستحکم و کم آلیاژ CrMoV است به طوریکه در دمای محیط استحکام کششی آن به بیش از 1800 MPa نیز می‌رسد. ترکیب شیمیایی این فولاد در جدول (۱) آورده شده است. کاربرد عمده این فولاد در صنعت اتومبیل و خصوصاً در ساخت قطعاتی می‌باشد که در آنها نیاز به استحکام و تافنس بالا به موازات یکدیگر است.

از این فولاد می‌توان در ساخت پیچ و مهره، چرخ دندنه، میل لنگ، قطعات با تلووانس خیلی دقیق و قطعات هرز گرد استفاده نمود. این فولاد گرمکار بوده و فرآیندهای شکل دهنده متداول آن نیز نورد داغ و فورج داغ شعاعی است[۷]. به منظور انجام آزمایشات فشار داغ، نمونه‌های استوانه‌ای شکل با ارتفاع $7/5\text{ mm}$ و قطر 5 mm مطابق با استاندارد SEP 1681، از محصول آهنگری شده این فولاد که دارای قطر 80 mm بود تهیّه و برای کاهش اثر اصطکاک در حین آزمایش فشار، در دو انتهای نمونه‌ها از طراحی رسته گیو (Rastegaeve) استفاده شده است[۸]. آزمایشات فشار داغ نیز با استفاده از دستگاه دیلاتومتر BÄHR Thermoanalyse GmbH در ابتدا به منظور همگن‌سازی، نمونه‌ها به مدت زمان ۱۵ دقیقه در دمای 1200°C قرار گرفتند.

سپس در محدوده دمایهای 1000 تا 1225°C ، سرعت‌های کرنش 0.1 تا $5 s^{-1}$ و میزان کرنش $0/9$ تحت تغییر شکل قرار گرفتند.



شکل (۲): a- منحنی های تنش-کرنش حقيقی فولاد مورد تحقيق در شرایط مختلف تغيير فرم

b- نمودارها در شرایطی که تنش به حالت پایا رسیده است.

منطقه تبلور مجدد جزئی نیز در جدول (۲) آورده شده است.

مطابق رابطه (۲) در شرایط تغيير شکل به کار رفته مقدار

RMSSD همواره کمتر از ۵٪ تنش سیلان متوسط می باشد و

این امر نشان دهنده درجه پيشگوبي مناسب تنش توسيع رابطه (۲)

مي باشد.

با تعين شدن نسبت σ_s/σ_c و به کمک رابطه (۷)،

اکنون می توان تابعيت تنش حالت پایا را بحسب شرایط تغيير

شكل تعين نمود. بدین منظور شکل (۵) تغييرات پارامتر زنر

هولمن را بحسب تنش پایا در شرایط مختلف تغيير شکل نشان

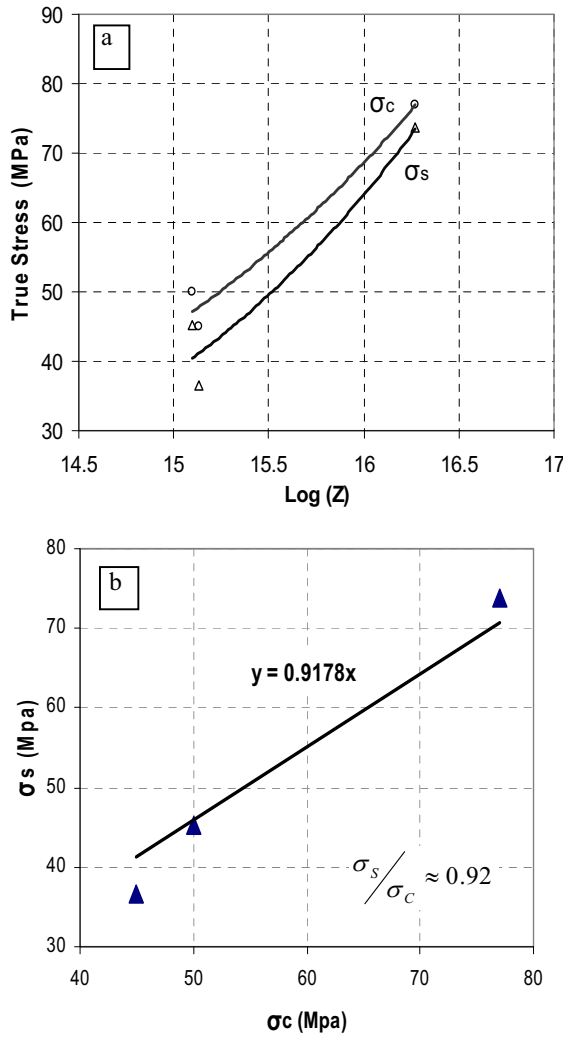
مي دهد و ثوابت تبلور مجدد ديناميكي (DRX) اين فولاد نيز در

$$Z = 4.9831 \times 10^{17} \times [\text{Sinh}(0.0076 \cdot \sigma_c)]^{6.8159} = \\ \varepsilon^{\circ} \exp\left(\frac{451.4866 \times 10^3}{RT}\right) \\ 1000^{\circ}\text{C} \leq T \leq 1200^{\circ}\text{C} \quad (7)$$

با استفاده از اين رابطه و نسبت σ_s/σ_c می توان تنش سیلان را توسيع رابطه (۲) در منطقه تبلور مجدد جزئی پيش بیني نمود. اين روند برای نمودارهای سیلان شکل (۲)-b انجام شده و نتایج آن در شکل (۴) نشان شده است.

همانطور که رابطه (۴) نشان می دهد توافق مناسبی بين نتایج تجربی و مقادير پيش بیني شده تنش وجود دارد. مقادير تنش سیلان متوسط و RMSSD برای موارد پيش بیني در محدوده

جدول (۳) آورده شده است. بنابراین اکنون می‌توان تابعیت تنش حالت پایا از شرایط تغییر شکل را برای این فولاد به صورت زیر نوشت:



شکل (۳): a- تغییرات تنش بحرانی شروع تبلور مجدد دینامیکی و تنش پایا بر حسب پارامتر زنر- هولمن

شکل (۳): b- تغییرات تنش پایا بر حسب تنش بحرانی شروع تبلور مجدد دینامیکی.

همچنین وجود عنصر مولیبدن به همراه وانادیم از طریق استحکام‌دهی محلول جامد نیز در این فرآیند موثر می‌باشد [۱۲].

$$Z = 2.2797 \times 10^{17} \cdot [\text{Sinh}(0.0085 \cdot \sigma_s)]^{6.6811} = \\ \varepsilon^\circ \exp\left(\frac{445.9476 \times 10^3}{RT}\right) \\ 1000^\circ C \leq T \leq 1200^\circ C \quad (8)$$

مقادیر انرژی اکتیواسیون تغییر شکل داغ در سه نقطه شروع تبلور مجدد، نقطه اوج و نقطه پایا برای این فولاد به ترتیب برابر $Q_{DRX} = 445.7866$, $Q_{HW} = 453.9916$, $Q_R = 451.4866$ کیلوژول بر مول است. این مقادیر انرژی اکتیواسیون تغییر شکل داغ قابل قیاس با فولادهای ابزاری مانند A2, D2 و M2 می‌باشد که در منطقه آستنیت در محدوده دمایی $900 - 1200^\circ C$ تغییر شکل یافته‌اند و دارای کاربیدهایی با اندازه ۱ میکرومتر می‌باشند. کاربیدهای با این اندازه باعث افزایش نرخ کارسختی از طریق توزیع سیلان در اطراف زمینه شده و تبلور مجدد دینامیکی را تشدید می‌کند [۱۰].

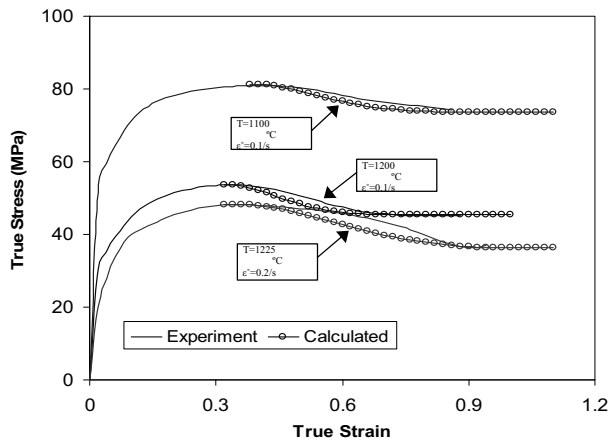
بر طبق تئوری Elfmark انرژی اکتیواسیون تبلور مجدد دینامیکی Q_{DRX} حدود ۲۰٪ کمتر از Q_{HW} است [۱۱] که این امر به دلیل افزایش نیروی محركه تبلور مجدد دینامیکی در کرنش‌های بالاتر از کرنش اوج می‌باشد.

اما در مورد فولاد مورد تحقیق مشاهده می‌شود که این اختلاف بسیار کم و در حدود ۲٪ است که حاکی از افت بسیار محدود تنش در نقطه پایا و قدرت کم مکانیزم‌های نرم شدن در این فولاد می‌باشد. این امر به دلیل وجود عناصر آلیاژی Cr, Mo و V در این فولاد است که باعث افزایش استحکام داغ می‌شود و اصولاً فولادهای کم آلیاژی گروه CrMoV دارای استحکام خزشی بسیار بالایی هستند [۱۲]. این امر از طریق استحکام دھی رسوی با رسوب کاربیدها و کاربونیتریدهای وانادیم (V_4C_3) و $(V(C,N))$ صورت می‌گیرد.

جدول (۳): مقادیر ثابت کار داغ فولاد مورد تحقیق که

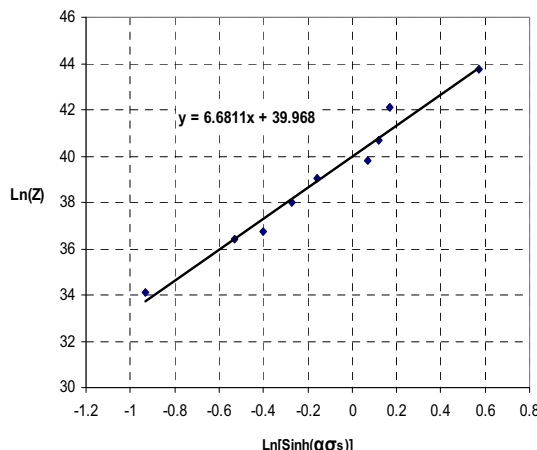
با استفاده از اطلاعات نقطه پایا تعیین شده است.

نوع ثابت	مقدار ثابت
m at High σ	۰/۰۸۷۹
m at Low σ	۰/۱۵۴۲
β	۰/۰۹۶۴
$\alpha (MPa^{-1})$	۰/۰۰۸۵
Q_{DRX} (KJ/mole)	۴۴۵/۷۸۶۶
n_{DRX}	۶/۶۸۱۱
$A_{DRX} (s^{-1})$	$۲/۲۷۹۷ \times 10^{-۷}$



شکل (۴): نمودارهای تنش سیلان به همراه مقادیر محاسبه شده

(پیش بینی شده) از طریق مدل ریاضی.



شکل (۵): نمودار تغییرات پارامتر زنر- هولمن بر حسب

سینوس هیپربولیک تنش پایا در مقیاس لگاریتم طبیعی.

۳- براساس معادلات مشخصه کار داغ، ارتباط ریاضی σ_s با شرایط مختلف تغییر شکل به صورت یک رابطه ریاضی تعیین شد و از آنجا مشخص شد Q_{DRX} این فولاد به دلیل استحکام داغ بالای آن بسیار نزدیک به Q_{HW} است.

جدول (۲): مقادیر تنش سیلان متوسط، σ_{mfs} و RMSSD

در شرایطی که تنش پیش بینی شده است.

شرایط تغییر فرم	σ_{mfs} (Mpa)	RMSSD (MPa)	RMSSD/ σ_{mfs} (%)
$\varepsilon^0=0.1s^{-1}, T=1100^\circ C$	۷۷/۷۶	۱/۱۹	۱۵۳
$\varepsilon^0=0.1s^{-1}, T=1200^\circ C$	۴۹/۵۳	۱/۴۳	۲/۸۹
$\varepsilon^0=0.2s^{-1}, T=1225^\circ C$	۴۹/۰۵	۲/۱۷	۴/۴۲

۳- نتیجه گیری

۱- با استفاده از یک مدل ریاضی منحنی های سیلان و مشخصات رفتار تبلور مجدد دینامیکی، تنش سیلان برای فولاد فوق مستحکم DIN.1.7765 در منطقه تبلور مجدد جزئی پیش بینی شد. مقایسه منحنی سیلان پیش بینی شده و تجربی نشان داد که توافق خوبی آنها وجود دارد.

۲- نسبت تنش بحرانی شروع تبلور مجدد دینامیکی به تنش حالت پایا در حین تغییر شکل گرم σ_s/σ_c برای این فولاد برابر $۰/۹۲$ محاسبه شد.

۴- مراجع

- [1] Sakai, T, Jonas, J. J., "Dynamic Recrystallization: Mechanical and Microstructural Consideration", *Acta Metall.* Vol.32, pp. 189-209, 1984.
- [2] McQueen, H. J, Jonas, J. J., "Recent advances in Hot Working: Fundamental Dynamic Softening Mechanisms", *J. Applied Metal Working* Vol.4, No.3, pp.231-241, July 1984.
- [3] Poliak, E. I, Jonas, J. J., "Initiation of Dynamic Recrystallization in Constant Strain Rate Hot Deformation", *ISIJ International* Vol.43, No.5, pp.684-691, 2003.
- [4] Cingara, A, McQueen, H. J., "New Formula for Calculating Flow Curves form High Temperature Constitutive Data for 300 Austenitic Steels", *J. Mater. Process. Tech.*, Vol.36, pp. 31-42, 1992.
- [5] Ebrahimi, R., Zahiri, S. H. and Najafizadeh, A., "Mathematical Modeling of the Stress-Strain Curves of Ti-IF Steel at High Temperature", *J. of Mater. Proc. Tech.* Volume 171, Issue 2, pp. 301-305, 20 January 2006.
- [6] Phaniraj, M. P., Lahiri, A. K., "The Applicability of Neural Network Model to Predict Flow Stress for Carbon Steels", *J. of Mater. Proc. Tech.* 141, pp.219–227, 2003.
- [7] ASM Handbook, "Mechanical Testing and Evaluation" Vol.8, p.143, 1985
- [8] ASM Handbook, "Mechanical Testing and Evaluation" Vol.8,pp.798, 1985
- [9] McQueen, H. J, Ryan, N. D., "Constitutive analysis in hot working", *Materials Science and Engineering A322*, pp. 43–63, 2002.
- [10] Elfmark, J, *Czech J. Phys.* B35 269–274, 1985.
- [11] Purmensky, J., Foldyna, V. and Kubon, Z., "Creep Resistance and Structural Stability of Low alloy CrMo and CrMoV Steels", *Key Engineering Materials* Vols. 171-174, pp. 419-426, 2000.